

## توسعه نمودار کنترل EWMAR با استفاده از قوانین حساس‌سازی در پایش پروفایل خطی ساده

علی یگانه

دانشجوی دکتری، مهندسی صنایع، دانشکده مهندسی، دانشگاه فردوسی مشهد، مشهد، ایران. Ali.yeganeh@mail.um.ac.ir

سمیه فدائی

دانشجوی دکتری، گروه مدیریت، دانشکده علوم اداری و اقتصادی، دانشگاه فردوسی مشهد، مشهد، ایران. somayehfadaei@mail.um.ac.ir

علیرضا شادمان\*

(نویسنده مسئول): استادیار، گروه مهندسی صنایع، دانشکده مهندسی، دانشگاه فردوسی مشهد. a.shadman@um.ac.ir

چکیده: در روش‌های سنتی کنترل کیفیت، عملکرد فرایند یا کیفیت محصول از طریق پایش یک یا چند مشخصه کیفیت با استفاده از توزیع متناظر یک یا چندمتغیره آن‌ها بررسی می‌شد. امروزه در بسیاری موارد، کیفیت از طریق رابطه بین یک یا چند متغیر پاسخ و یک یا چند متغیر مستقل توصیف می‌شود. در ادبیات کنترل کیفیت آماری، این رابطه را پروفایل می‌نامند. در این پژوهش بهمنظور پایش پروفایل خطی ساده در فاز دو از نمودار کنترل EWMAR و توزیع نرمال مربوط به آن برای کشف انواع تغییرات در پارامترهای عرض از مبدأ و شب استفاده می‌شود. بهمنظور بهبود عملکرد نمودار از قوانین حساس‌سازی در این نمودار استفاده می‌شود. سپس بهمنظور اعتبارسنجی نمودار کنترل پیشنهادی، عملکرد نمودار بر اساس متوسط طول دنباله با سایر نمودارها مقایسه می‌شود. نتایج نشان‌دهنده این است که نمودار کنترل در تغییرات افزایشی و کاهشی بهمراتب عملکرد بهتری نسبت به سایر نمودارها دارد. همچنین عملکرد طرح پیشنهادی از سایر قوانین حساس‌سازی بهتر است.

وازگان کلیدی: نمودار کنترل EWMAR، پایش پروفایل، طرح قوانین حساس‌سازی، پروفایل خطی ساده، فاز II

### ۱- مقدمه

کنترل می‌شود و یا در حالت کلی بهوسیله توزیع چند مشخصه کیفی توصیف و بهوسیله نمودارهای کنترل چندمتغیره کنترل می‌شود. گاهی اوقات کیفیت محصول یا عملکرد فرایند بهوسیله رابطه بین یک متغیر پاسخ و یک یا چند متغیر مستقل توصیف می‌شود که این رابطه پروفایل نام دارد [۲]. در شرایط و کاربردهای مختلف رابطه فوق الذکر می‌تواند به صورت خطی،

کنترل فرآیند آماری (SPC) به طور گسترده برای نظارت بر فرایندهای صنعتی استفاده می‌شود. بیشتر تحقیقات دانشگاهی در مورد SPC بر روی تکیکهای نموداری<sup>۱</sup> متوجه شده است. در بیشتر کاربردهای SPC فرض بر این است که با توزیع یک مشخصه کیفی، می‌توان کیفیت فرآیند یا عملکرد محصول را به طور کافی نشان داد [۱] که بهوسیله نمودارهای کنترلی تک‌متغیره

\* corresponding author (mmmovahedi@gmail.com)

تاریخ دریافت: ۱۳۹۹/۰۹/۰۴ تاریخ پذیرش: ۱۴۰۰/۰۳/۱۷

دوره ۱۰ / شماره ۴  
صفحات: ۲۷۱-۲۹۸

کردن. اگرچه این روش مشابه EWMA3 است، اما می‌تواند تغییرات در خطای واریانس<sup>۴</sup> را کاهش دهد. نورانسا و همکاران [۹] از نمودار ترکیبی MCUSUM/R برای پایش پروفایل‌های خطی در فاز ۲ استفاده کردند و عملکرد روش خود را از طریق شبیه‌سازی با روش‌های کنگ و آلباین مقایسه کردند.

سقایی، مهرجو و امیری [۱۰] همچنین نمودار کنترل CUSUM3 مشابه EWMA3 را پیشنهاد کردند. لی و وانگ [۱۱] از یک نمودار کنترل EWMA با ویژگی فاصله نمونه‌گیری متغیر برای پایش پروفایل‌های خطی ساده در فاز دو استفاده کردند. گانی و لیمام [۱۲] با استفاده از نمودار کنترل K بر اساس حل معادله بهینه‌سازی پایش پروفایل خطی ساده را انجام دادند. ادیبی و مونتگومری [۱۳] با استفاده از رویکرد P-Value نمودار کنترل برای پایش پروفایل خطی ساده ایجاد نمودند. زو و همکاران [۱۴] نمودار کنترل نسبت درستنمایی تعیین‌یافته<sup>۵</sup> (GLR) را برای پایش پروفایل‌های خطی بکار بردن و نشان دادند که نمودار GLR عملکرد بهتری از EWMA3 دارد، بخصوص زمانی که تغییرات کوچک است. نمودار کنترل مبتنی بر مفهوم مجموعه اطمینان<sup>۶</sup> هم‌زمان توسط هوانگ، وانگ، اکزو و زو [۱۵] معرفی شده است همچنین همانند مطالعه زو و همکاران [۸]، یک روش تشخیصی سیستماتیک برای تخمین نقطه تغییر و مشخص کردن پارامترهای تغییریافته در فرآیند ارائه داده است. ریاز و همکاران [۱۶] پایش پروفایل‌های خطی را یا استفاده از ساختار EWMA در قالب طرح‌های رتبه‌بندی شده انجام دادند. محمود و همکاران [۱۷] پایش هم‌زمان پارامترهای پروفایل خطی ساده را انجام دادند. ریاض، محمود، عباس و عیاسی [۱۸] دو نمودار کنترل (CUSUM3 و EWMA3) را به عنوان نمودار کنترل نوع با حافظه<sup>۷</sup> طبقه‌بندی کردند و یک نمودار کنترل جدید برای نظارت بر پروفایل‌های خطی بر اساس نمونه‌گیری تصادفی ساده ارائه دادند. معتمدی، علاءالدینی و زو [۱۹] نمودار کنترل جدیدی را ارائه دادند که اطلاعات موجود در پروفایل‌های تحت کنترل و سطح ناحیه هم‌گشتی مشاهده شده را ترکیب می‌کند. سعید، محمود، ریاض و عباس [۲۰] یک نمودار کنترل نوع با حافظه را با استفاده از میانگین فرایندهای<sup>۸</sup> برای تشخیص تغییر در پارامترهای پروفایل خطی طراحی کردند. دیلمی و همکاران [۲۱] نمودارهای کنترل مبتنی بر باقیمانده‌ها برای پایش پروفایل‌های خطی ساده در فرآیندهای تولید کوتاه‌مدت را طراحی نمودند. نمودارهای کنترل بیزینی نیز برای پروفایل‌های خطی تهیه شده‌اند [۲۲، ۲۳، ۲۴]. در این نمودارها از توزیع‌های پسین<sup>۹</sup> پارامترهای تحت کنترل استفاده

چندجمله‌ای، غیر خطی و حتی در مواردی به صورت یک رابطه پیچیده باشد.

همانند روش‌های سنتی کنترل کیفیت، پایش پروفایل‌ها نیز در دو فاز ۱ و ۲ صورت می‌گیرد [۱]. بر همین مبنای مطالعات مربوط به پایش پروفایل‌ها نیز به دو طبقه تقسیم می‌شوند؛ یا در فاز اول و یا در فاز دوم انجام شده‌اند. ارزیابی ثبات فرآیند و برآورد مقادیر پارامترهای فرآیند تحت کنترل، اهداف اصلی مرحله اول هستند. از طرف دیگر، در مرحله دوم نظارت بر روی فرآیند و شناسایی هرچه سریع‌تر وضعیت خارج از کنترل، مهم است. این هدف معمولاً به‌وسیله پارامترهای توزیع دنباله اندازه‌گیری می‌شود. طول دنباله تعداد نمونه‌هایی است که گرفته می‌شود تا یک هشدار خارج از کنترل مشاهده شود [۱]. علاوه بر این، نظارت بر پروفایل را می‌توان با توجه به نوع پروفایل مدل‌های خطی، چندجمله‌ای، غیرخطی، مدل خطی عمومی (GLM)، تعداد متغیر پاسخ (تک متغیره یا چند متغیره) و تعداد متغیر مستقل (ساده یا چندگانه) طبقه‌بندی کرد. برای اطلاعات بیشتر به مقاله مروری وودال [۳] و ملکی، امیری و کاستالیولا [۴] در زمینه پایش پروفایل مراجعه شود.

بسیاری از ادبیات مربوط به پایش پروفایل با تجزیه و تحلیل پروفایل‌های خطی در فاز II، یعنی نظارت بر فرآیند یا محصول هنگامی که پارامترهای اصلی مدل تحت کنترل در نظر گرفته شده‌اند، سروکار دارد. با توجه به اینکه هدف پژوهش حاضر نیز پایش پروفایل‌های خطی در فاز II است، لذا در ادامه به مطالعات انجام‌شده در این زمینه اشاره می‌شود. استور و بریل [۵] از نمودار T<sup>2</sup>-هتلینگ و نمودار تک متغیره بر اساس اولین مؤلفه اصلی بردارهای تخمین پارامترهای رگرسیون برای تعیین ثبات پاسخ یک ابزار کالیبراسیون و فرکانس کالیبراسیون بهینه استفاده نمودند. کنگ و آلباین [۶] دو نمودار کنترل را برای نظارت بر فاز دوم پروفایل‌های خطی پیشنهاد کردند. یکی از آنها نمودار T<sup>2</sup> چند متغیره و دیگری ترکیبی از نمودار میانگین متحرک موزون نمایی<sup>۱۰</sup> (EWMA) و نمودار (R) است. در کیم و همکاران [۷]، روشی مبتنی بر ترکیبی از سه نمودار EWMA برای شناسایی عرض از مبدأ، شیب، یا انحراف استاندارد پیشنهاد شد. مطالعات شبیه‌سازی نشان داد که سه نمودار EWMA در تشخیص تغییرات پایدار در پارامترها نسبت به روش‌های کنگ و آلباین [۶] از نظر میانگین طول اجرا (ARL) عملکرد بهتری دارند. علاوه بر این، به نظر می‌رسد آن‌ها برای تفسیر بسیار ساده‌تر هستند. زو، تسانگ و وانگ [۸] نمودار MEWMA را برای پایش پروفایل‌های خطی در فاز دوم معرفی نشریه مهندسی و مدیریت کیفیت

[۱۱]، [۳۸] و [۸]. در این روش تطبیقی، هنگامی که نشانه‌ای از تغییر احتمالی در پارامترها وجود داشته باشد، نمونه‌ها با استفاده از فاصله زمانی کوتاه‌تری نسبت به شرایط معمول گرفته می‌شوند. قوانین حساس‌سازی و رویکرد VSI دیدگاه مشابهی در افزایش حساسیت نمودارهای کنترل دارند، بنابراین می‌توان آن‌ها را با یکدیگر مقایسه کرد.

در این تحقیق از نمودارهای کنترل EWMA/R برای پایش پروفایل خطی ساده در فاز دو استفاده می‌شود. تاکنون در پایش پروفایل‌ها در فاز ۲ از قوانین حساس‌سازی استفاده نشده است لذا نوآوری این تحقیق بهبود عملکرد نمودار EWMA/R در پایش پروفایل در فاز دوم است، در این تحقیق از یک روش ابتکاری برای بررسی قوانین حساس‌سازی در پروفایل خطی ساده نمودار EWMA/R استفاده می‌شود. همچنین بهمنظور اعتبارسنجی عملکرد نمودار کنترل پیشنهادی، ضمن مقایسه آن با سایر نمودارها در پروفایل خطی ساده بر اساس معیار ARL روش پیشنهادی نیز با قوانین وسترن الکترونیک و همچنین نتایج طرح نمونه‌گیری متغیر نیز مقایسه شده است.

## ۲- پایش پروفایل‌های خطی در فاز ۲

بدون از دست دادن کلیت فرض می‌شود فقط یک متغیر مستقل وجود دارد.  $Y_{ij}$  نامین مشاهده از متغیر پاسخ در پروفایل زام است و  $X_{ij}$  متغیر مستقل مربوطه که فرض می‌شود در هر پروفایل ثابت است ( $\dots n; j = 1, 2, \dots n; i = 1, 2, \dots n$ ). همچنین فرض می‌شود بهترین مدل برای رابطه (۱) بین متغیر پاسخ و متغیر مستقل، مدل رگرسیون خطی است:

$$Y_{ij} = A_{0j} + A_{1j}X_i + \varepsilon_{ij} \quad (1)$$

در رابطه (۱)،  $A_{0j}$  و  $A_{1j}$  به ترتیب عرض از مبدأ و شبیه پروفایل زام است و  $\varepsilon_{ij}$  مقدار خطا است که توزیع نرمال و مستقلی با میانگین صفر و واریانس  $\sigma_{ij}^2$  ( $\varepsilon_{ij} \sim N(0, \sigma_{ij}^2)$ ) دارد. برآوردگرهای حداقل مربعات<sup>۱۱</sup> از  $A_{1j}$  و  $A_{0j}$  در پروفایل زام  $a_{1j} = (\sum_{i=1}^n Y_{ij} (X_i - \bar{X})) / (\sum_{i=1}^n ((X_i - \bar{X}))^2)$  و  $a_{0j} = \bar{Y}_j - a_{1j}\bar{X}$  هستند. در این دو  $a_{0j} = \bar{Y}_j - a_{1j}\bar{X}$  است. LSE پارامترهای وابسته را تخمین می‌زنند؛ بنابراین کیم و

شده است. بررسی پیشینه نشان داد، برخی از مطالعات نمودار کنترل جدید را طراحی نکرده‌اند، اما نمودارهای کنترل متفاوتی را مقایسه کرده‌اند، یا برخی از نمودارهای کنترل را برای تشخیص سریع‌تر کاهش شیفت‌ها اصلاح کرده‌اند، یا تکنیک‌های مختلف نمونه‌گیری را در نظرات بر پروفایل در نظر گرفته‌اند [۲۵]، [۲۶] و [۱۷] و [۱۶].

در نمودارهای کنترل تغییرات غیر تصادفی بسته به ماهیت دلایل اصلی آن‌ها، ممکن است اشکال مختلفی به خود بگیرند. یک حالت ساده این است که یک یا چند نقطه خارج از کنترل قرار بگیرد. با این وجود انواع دیگر تغییرات غیر تصادفی وجود دارد که ممکن است برای مدت طولانی به آن‌ها توجه نشود. لذا از قوانین حساس‌سازی در نمودارهای کنترل استفاده می‌شود. این قوانین از داده‌های تاریخی استفاده می‌کنند و به دنبال یک الگوی غیر تصادفی هستند که می‌تواند نشان دهد روند کار قبل از رسیدن به حد مجاز ۳ سیگما خارج از کنترل است. معروف‌ترین آن‌ها قوانین الکترونیک و سترن است، همچنین به عنوان قوانین شناخته می‌شوند. این دستورالعمل‌های کنترل کیفیت برای اولین بار توسط شرکت وسترن الکترونیک در دهه ۱۹۲۰ آجرا و در دهه ۱۹۵۰ کدگذاری شده و پایه و اساس مجموعه قوانین دیگر را تشکیل می‌دهند.

بنابراین برای نظارت بهتر پارامترهای فرایند قوانین حساس‌سازی روش مؤثری است. محققان مختلفی از جمله عباس و همکاران [۲۷]، ریاز و همکاران [۲۸]، کیم و همکاران [۲۹]، خو و همکاران [۳۰]، آدولتی و ماجیکا [۳۱] و ماراولاکیس و همکاران [۳۲] از قوانین حساس‌سازی مختلفی در نمودارهای کنترل شوهارت، DEWMA و EWMA استفاده نمودند. برای اطلاعات بیشتر در مورد تاریخچه‌ی قوانین می‌توان به مقالات مروری در این حوزه به کوتراس و همکاران [۳۳] و چاکرابورتی و گراهام [۳۴] مراجعه نمود. لذا همان‌طور که مشاهده می‌شود پژوهش‌های متعددی در حوزه‌ی پایش مشخصه‌های کیفی تک متغیره و چند متغیره به وسیله‌ی قوانین حساس‌سازی، صورت گرفته است اما در حوزه پایش پروفایل‌ها فقط مقالات ریاز و تقیر [۳۵] و زانگ و همکاران [۳۶] به بررسی قوانین حساس‌سازی در پایش پروفایل‌ها، آن‌هم در فاز یک پرداخته‌اند.

مطالعه پیشینه نشان داد برخی مطالعات دیگر برای افزایش حساسیت نمودارهای کنترل در پروفایل‌های خطی از طرح فاصله متغیر نمونه‌گیری متغیر (VSI) استفاده کرده‌اند [۳۷]

نشریه مهندسی و مدیریت کیفیت

که سیگما خطای انحراف استاندارد است که بهوسیله میانگین مربعات<sup>۱۳</sup>  $j^{th}$  امین خط رگرسیون برآش است.  $L(>0)$  انحراف استاندارد آماری با نمونه چندگانه است که میزان هشدارهای اشتباه را تعیین می‌کند و  $n$  اندازه نمونه است. معمولاً  $L = \theta^{\alpha}$  و  $\theta = 0.15, 0.1, 0.08$  در نظر می‌گیرند برای جزیيات بیشتر مونتگومری [۳۹] را ببینید.

نمودار کنترل R برای پایش انحراف معیار باقیماندها و شناسایی تغییرات در تغییرپذیری فرایند است. نمودار کنترل R بهصورت  $R_j = max_i(e_{ij}) - min_i(e_{ij})$  است که  $e_{ij}$  باقیمانده رگرسیون در  $i$  امین مشاهده از  $j$  امین نمونه (پروفایل) است. حدود کنترل نمودار R مطابق رابطه ۵ است.

$$\begin{aligned} LCL &= \sigma(d_2 - Ld_3) \\ UCL &= \sigma(d_2 + Ld_3) \end{aligned} \quad (5)$$

$ARL < L$  یک مقدار آستانه است که برای به دست آوردن تحت کنترل استفاده می‌شود.  $d_2$  و  $d_3$  مقادیر ثابتی برای دامنه و انحراف استاندارد هستند که مقدار آن‌ها به اندازه نمونه بستگی دارد. مقادیر آن‌ها برای  $n$  های مختلف در مونتگومری [۳۹] آورده شده است.

#### ۴- روش پیشنهادی «ترکیب قوانین حساس‌سازی با نمودار کنترل EWMAR»

روش اصلی این پژوهش بر اساس ترکیب قوانین حساس‌سازی با نمودار کنترل EWMAR است. در این نمودار همان‌طور که گفته شد، دو آماره برای پایش پروفایل‌ها پیشنهاد شده است. برای طراحی حد کنترل این دو نمودار حالت‌های مختلفی را می‌توان بهمنظور دست‌یابی به  $ARL_0$  مطلوب در نظر گرفت. کنگ و آلباین [۶] مقادیر  $3 = L = K$  را بهمنظور رسیدن به  $ARL_0$  برابر با  $200$  پیشنهاد داده‌اند. البته روش مرسوم در طراحی نمودارهای کنترل با چند آماره، این است که مقادیر  $ARL_0$  را برای هر یک از نمودارها بهصورت مساوی در نظر می‌گیرند. در این صورت بر اساس خطای نوع اول تجمعی مطبق با رابطه‌ی (۶)، میزان  $ARL_0$  برای هر نمودار مشخص می‌شود.

همکاران [۷] یک مدل جایگزین (رابطه ۲) را برای تخمین پارامترهای مستقل ایجاد نمودند که  $(X\text{-values})$  را به  $(x_i^* = (x_i - \bar{x})$

$$Y_{ij} = B_{0j} + B_{1j}X_i^* + \varepsilon_{ij} \quad (2)$$

در رابطه (۲)  $B_{0j} = A_{0j} + A_{1j}\bar{x}$  و  $B_{1j} = a_{1j}$  برای  $j$  در پروفایل  $j$ ام برابر است. همچنین در هر دو مدل تخمین  $\hat{\sigma}_j = \sqrt{\frac{1}{n-2} \sum_{i=1}^n (y_{ij} - \hat{y}_{ij})^2}$  و در آن  $b_{0j} + b_{1j}X_i^*$  است.

در این تحقیق از هر دو مدل اصلی و تبدیلی در روابط ۱ و ۲ برای پایش پروفایل خطی استفاده می‌شود.  $A_{0(IC)}$  و  $A_{1(IC)}$  مقادیر تحت کنترل پارامترهای مدل اصلی هستند و  $B_{0(IC)}$  و  $B_{1(IC)}$  با فرض معلوم بودن، مقادیر تحت کنترل پارامترهای مدل تبدیلی در فاز ۲ هستند.

### ۳- طراحی نمودارهای کنترل EWMA/R

در تحقیق حاضر برای پایش پروفایل از روش کنگ و آلباین [۶] در طراحی EWMA/R استفاده می‌شود. در این نمودار از دو آماره  $(z_j)$  و  $(R_j)$  استفاده می‌شود. در نمودار کنترل EWMA آماره  $z_j$  میانگین موزونی از میانگین باقیمانده‌ها پروفایل  $j$ ام و مقدار  $\bar{e}_j = n^{-1} \sum_{i=1}^n e_{ij}$  مطابق رابطه ۳ است.

$$z_j = (1 - \theta)z_{j-1} + \theta\bar{e}_j \quad (3)$$

که در آن  $1 \leq \theta < 0$  ثابت وزنی<sup>۱۴</sup> و  $z_0 = 0$  است. حدود کنترل بالا و پایین این نمودار بهصورت رابطه ۴ است.

$$\begin{aligned} LCL &= -L\sigma \sqrt{\frac{\theta}{(2 - \theta)n}} \\ UCL &= +L\sigma \sqrt{\frac{\theta}{(2 - \theta)n}} \end{aligned} \quad (4)$$

$$\begin{pmatrix} r_1 & p_1 \\ \dots & \dots \\ r_k & p_k \\ \dots & \dots \\ r_s & p_s \end{pmatrix} \quad (7)$$

بر اساس رابطه‌ی (7) نمودار کنترل در ناحیه‌ی تحت کنترل به قسمت تقسیم می‌شود ( $1 \leq k \leq r_1 \leq \dots \leq r_s \leq r_k \leq p_k \leq p_s \leq p_1$ ) که ستون اول ماتریس نشان‌دهنده‌ی حد پایین هر یک از نواحی (ناحیه‌ی اول از  $r_s$  تا  $r_1$ ، ..., ناحیه‌ی آخر از  $r_1$  تا  $CV$ ) و ستون دوم نشان‌دهنده‌ی حداکثر نسبت نقاط قرارگرفته در آن ناحیه تا تکرار فعلی بهمنظور صادر نشدن سیگنال خارج از کنترل است. همچنین تعداد سطرهای ماتریس  $S$  نشان‌دهنده‌ی تعداد قوانین خواهد بود. به عنوان مثال قانون اول (سطر آخر ماتریس) که مربوط به اولین ناحیه اول است بیان می‌کند که اگر نسبت تعداد نقاط (آمارهای) قرارگرفته در ناحیه‌ی اول تا حد کنترل) به تکرار فعلی بیش از  $p_s$  باشد، وضعیت فرآیند، خارج از کنترل خواهد بود. دقت شود که فعال‌سازی قوانین برای نقاطی در نظر گرفته می‌شود که پایین‌تر از حد آستانه ( $CV$ ) باشند و اگر مقدار هر آماره بیش‌تر از  $CV$  شود، فرآیند به طور طبیعی خارج از کنترل خواهد بود و سیگنال صادر می‌شود. به عبارت دیگر هر نمودار کنترل یک قانون پیش‌فرض که قرارگیری نقاط خارج از حد کنترل اصلی است را نیز در نظر می‌گیرد.

#### ۱-۴- طراحی قوانین حساس‌سازی

مطابق با سایر نمودارهای کنترل می‌باشد برای رسیدن به  $ARL_0$  مطلوب، تعداد قوانین، نواحی و درصدهای نقاط در ماتریس قوانین طراحی گردند. در پژوهش‌های پیشین که بر اساس قوانین تعداد نقاط محدود ایجاد شده‌اند، استفاده از ماتریس گذار و زنجیره‌ی مارکوف برای طراحی نمودار کنترل، بسیار مرسوم است؛ اما در این ساختار به دلیل وجود درصد نقاط، این ساختار طراحی مقدور نیست. یکی از روش‌های مرسوم در طراحی قوانین حساس‌سازی، شبیه‌سازی مونت‌کارلو (بر اساس  $10000$  تکرار) است. در این روش حدود قوانین بر اساس تعداد مشخصی از قوانین برای دستیابی به مشخص، تنظیم می‌گردند. در این پژوهش نیز از این روش استفاده می‌شود. برای این منظور قوانین به گونه‌ای طراحی می‌شوند که به ازای  $ARL_0$  ثابت، کمترین میزان  $ARL_1$  را برای

جلد ۱۰- شماره ۴- زمستان ۱۳۹۹

$$\alpha_{overall} = 1 - \prod_{i=1}^k \alpha_i \quad (6)$$

در رابطه‌ی فوق  $k$  معادل تعداد نمودارهای کنترل است. به عنوان مثال، با این رویکرد برای طراحی نمودار EWMAR ( $K = 2$ ) با در نظر گرفتن  $\alpha_{overall}$  برابر با  $0.005$ ، مقادیر  $ARL_0$  برای هریک از نمودارها، به تنهایی حدوداً  $400$  و در مجموع برابر با  $200$  خواهد بود ( $\alpha_1 = \alpha_2 = \frac{1}{400}$ ).  $\alpha_{overall} = \frac{1}{200}$ .

در این پژوهش استفاده از قوانین حساس‌سازی برای افزایش سرعت تشخیص وضعیت خارج از کنترل پیشنهاد می‌شود که در این روش از ناحیه‌بندی نمودار کنترل استفاده می‌شود. البته این روش از نظر ساختاری با روش‌های پیشین (مثلًاً قرارگیری  $2$  نقطه از  $3$  نقطه‌ی متوالی در یک ناحیه از نمودار کنترل) متفاوت است. در روش‌های اشاره‌شده، معمولاً  $m$  نقطه‌ی آخر در هر قانون در نظر گرفته می‌شود و تعداد دقیق نقاط شمرده می‌شود. این در صورتی است که در روش این پژوهش، نسبت کلیه نقاط مورد توجه است. ایده‌ی اصلی این الگو، با تحلیل بسیار جامع بر روی خروجی‌های نمودارهای کنترل به دست آمد (نتایج ذکر نشده است). تحلیل نتایج بر روی پروفایل‌های تحت کنترل و خارج از کنترل نشان می‌دهد که آمارهای روش EWMAR، در پروفایل‌های خارج از حد کنترل به سمت حد کنترل نمودار متمایل می‌شوند. به عبارت دیگر درصد نقاطی که در نزدیک حد کنترل قرار می‌گیرند، در حالت خارج از کنترل افزایش می‌یابد.

برای سادگی طراحی، نمودارهای کنترل دوطرفه متقاضان، یک طرفه فرض می‌شود و قدر مطلق آماره در نظر گرفته می‌شود و برای نمودارهای یک طرفه (مانند نمودار پراکندگی یا  $R$ ) که حد پایین آن غیر متقاضان است) حالت عادی در نظر گرفته می‌شود. به همین سبب از این پس حد پایین کنترل معمولاً صفر است و حد بالای کنترل که با اضافه شدن قوانین تغییر می‌کند حد آستانه ( $CV$ ) نام‌گذاری می‌شود. ساختار قوانین پیشنهادی این پژوهش، به وسیله‌ی ماتریس قوانین مطابق با رابطه‌ی (7) بیان می‌شود.

ناحی تغییر نمی‌کنند و فقط از بین ۲۰ ناحیه انتخابی، بهترین ناحیه انتخاب می‌شود. تغییر در حد قوانین و حد بالای نمودار کنترل  $R$ ، به صورتی است که  $ARL_{0R}$  به تنهایی، برابر با ۴۰۰ گردد (با فرض  $S = 1$  و  $ARL_0$  نهایی برابر با ۲۰۰). می‌بایست دقت شود که حد آستانه‌ی نمودار EWMA بر مبنای  $ARL_{0EWMA}$  برابر با ۴۰۰، تغییری نخواهد کرد (در تمامی مراحل افزودن قوانین به نمودار  $R$ ، این حد ثابت می‌ماند) و حد کنترل نمودار  $R$  و درصد نقاط قوانین بر اساس این که هر کدام به صورت مجزا به  $ARL_{0rule1}$  برابر با ۸۰۰ برسند، تعیین می‌شود ( $ARL_R = 400 \rightarrow ARL_{main} = ARL_{1rule} = 800$ ). برای این منظور ابتدا حد اصلی نمودار  $R$  برای رسیدن به  $ARL_{0CV}$  برابر با ۸۰۰ تعیین می‌شود (منظور از  $ARL_{0CV}$  این است که اگر فقط حد اصلی نمودار  $R$  وجود داشت، خواهد برابر با چه عددی خواهد شد). در مرحله‌ی بعد دو روش را می‌توان به کار برد. روش اول این است که حد قانون را به صورت مجزا و تنها به گونه‌ای تعیین کنیم که فقط  $ARL_0$  برای همان قانون (بدون در نظر گرفتن حد اصلی نمودار  $R$ ) برابر با ۸۰۰ گردد ولی روش سریع‌تر و دقیق‌تر این است که حد قانون را به گونه‌ای تعیین کنیم که حد نمودار و قانون به طور همزمان برابر با ۴۰۰ شود. در سایر مراحل ( $1 < S$ ) نیز به همین صورت عمل خواهد شد با این تفاوت که میزان  $ARL_{0CV}$  با توجه به تعداد قوانین افزایش خواهد یافت و با افزایش تعداد قوانین،  $ARL$  هر یک از قانون‌ها مطابق رابطه‌ی (۶)، محاسبه خواهد شد تا  $ARL_{0R}$  درنهایت برابر با ۴۰۰ باشد.

سپس با توجه به حدود تعیین شده بر مبنای  $ARL_0$  نهایی،  $ARL_1$  برای تغییرات مشخص از پیش تعیین شده، محاسبه می‌شود. بر این اساس ناحیه‌ای که به ازای متوسط طول دنباله ثابت، کمترین  $ARL_1$  را ایجاد نماید انتخاب می‌شود. با این رویکرد نواحی و درصد نقاطی انتخاب خواهد شد که کمترین میزان  $ARL_1$  را ایجاد نمایند.

### گام ۳: اصلاح مقدار حد آستانه و تقسیم‌بندی دوباره نمودار کنترل و تعیین درصدهای مربوطه

با افزودن قوانین برای رسیدن  $ARL_0$  مشخص، می‌بایست حد آستانه‌ی نمودار کنترل نیز افزایش یابد. برای این منظور در هر مرحله حد آستانه نمودار به تنهایی به ازای  $ARL_0$  مطلوب می‌بایست تعیین گردد (برای  $ARL_0$  نهایی برابر با ۲۰۰، این مقادیر در جدول (۱) تعیین شده است). بر این اساس نواحی بر

چندین شیفت دلخواه ایجاد نمایند. از آنجایی که در روش EWMAR دو نمودار کنترل مجزا (در این پژوهش به این دو نمودار، نمودار  $R$  (برای آماره‌ی  $R$ ) و نمودار EWMA (برای آماره‌ی  $Z_j$ ) گفته می‌شود) وجود دارد در دو مرحله می‌بایست ماتریس قوانین مطابق با گام‌های زیر طراحی گردد. این ساختار ابتدا برای نمودار  $R$  و سپس برای نمودار EWMA بررسی می‌شود.

### گام ۱: فرض تعداد قوانین و تعیین حدود اصلی نمودار کنترل بر مبنای تعداد قوانین

تعداد قوانین ابتدا برابر با یک قانون در نظر گرفته می‌شود و در هر مرحله یک قانون اضافه می‌شود. اضافه نمودن قوانین تا هنگامی که بهبودی در فرآیند حاصل گردد، ادامه پیدا خواهد نمود. منظور از بهبود در فرآیند این است که به ازای متوسط طول دنباله ثابت در حالت تحت کنترل، طول دنباله‌ی خارج از کنترل کمتری به ازای شیفت‌های از پیش تعیین شده، حاصل گردد. لازم به ذکر است در کلیه‌ی مراحل طراحی، متوسط طول دنباله بر اساس ۱۰۰۰۰ تکرار محاسبه می‌شود.

بر مبنای تعیین تعداد قوانین، می‌بایست حد اصلی نمودار کنترل را ابتدا تعیین نمود. سپس روند اضافه شدن قوانین تا رسیدن به  $ARL_0$  مورد نظر نهایی ادامه پیدا خواهد کرد. البته می‌توان هر قانون را نیز به صورت جداگانه تنظیم نمود ولی با اضافه نمودن یک به یک قوانین فرآیند شبیه‌سازی سریع‌تر صورت می‌پذیرد.

### گام ۲: تقسیم‌بندی نمودار کنترل و تعیین درصدهای مربوطه

در هر مرحله، نمودار کنترل از حد پایین (معمولًاً صفر) تا حد آستانه به تعداد مشخصی ناحیه تقسیم می‌شود (به عنوان مثال ۲۰ ناحیه). در مرحله‌ی اول ( $S = 1$ ) هر یک از نواحی انتخاب  $ARL_0$  می‌شود و درصد نقاط ناحیه مربوطه، با توجه به این که  $ARL_0$  مجموع، برابر عدد مشخصی گردد، تعیین می‌شود به عنوان مثال در صورت فرض  $ARL_0$  نهایی برابر با ۲۰۰، بر اساس رابطه‌ی (۶) داریم:

$ARL_{overall} = 200 \rightarrow ARL_R = ARL_{EWMA} = 400$  دقت شود که از این پس  $ARL_{overall}$  معادل با  $ARL_0$  نهایی خواهد بود.

برای طراحی، ابتدا نمودار EWMA ثابت فرض می‌شود و فقط نمودار  $R$  با افزودن قوانین تغییر می‌کند. برای افزودن قوانین،

پایان می‌رسد (به عنوان مثال با فرض  $ARL_0$  نهایی برابر با ۲۰۰،  $ARL_0$  برای نمودار R به همراه قوانین ۴۰۰ خواهد شد) و در هر مرحله‌ی بعد، مراحل قبلی برای نمودار EWMA تکرار می‌شود و در تمام مراحل نمودار R به همراه قوانین آن ثابت خواهد ماند.

#### ۴-۲-۴- ارزیابی عملکرد روش پیشنهادی بر اساس متوسط طول دنباله در مثال کنگ و آلباین

برای ارزیابی روش پیشنهادی، مثال ارائه شده توسط کنگ و آلباین [6] با پارامترهای تحت کنترل  $A_0 = ۳$ ،  $A_1 = ۲$  و  $\sigma^2 = ۱$  و متغیر مستقل در چهار سطح با مقادیر ۲، ۴، ۶، ۸،  $n = ۴$  بررسی می‌شود. ابتدا طراحی ماتریس قوانین بیان می‌شود. همان‌طور که گفته شد در صورتی که بخواهیم نمودار EWMA را با شرط برابر بودن  $ARL_0$  در هریک نمودارها طراحی نمائیم ( $ARL_{0R} = ARL_{0EWMA}$ )، می‌بایست هر یک از نمودارها به صورت جداگانه طراحی گردد. دقت شود که مقادیر دامنه نمی‌تواند منفی باشد و برای همین  $LCL_R$  برای  $n = ۴$  صفر در نظر گرفته شده است. مراحل طراحی ماتریس قوانین برای هر یک از نمودارها در شکل ۱ نشان داده شده است.

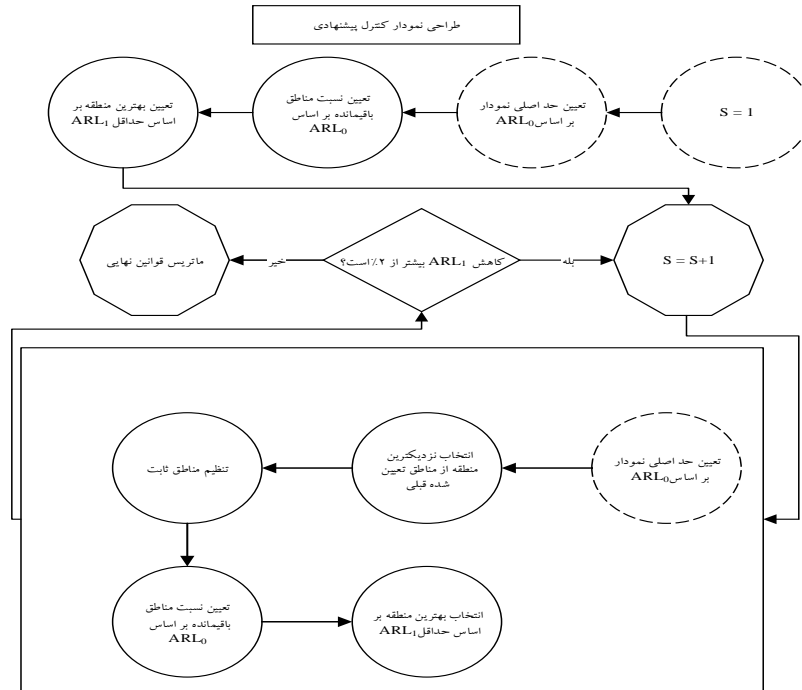
مبناً حد جدید محاسبه خواهد شد زیرا نواحی پیشین بر اساس حد آستانه‌ی قبلی نمودار ایجاد شده‌اند. در هر مرحله با افزایش  $k$ ، ناحیه‌ی انتخابی در مرحله‌ی قبل ثابت فرض می‌شود و از بین سایر نواحی، ناحیه‌ی جدید انتخاب می‌شود. به عنوان مثال در مرحله‌ی دوم از بین باقی‌مانده‌ی نواحی (به عنوان مثال با در نظر گرفتن ۲۰ ناحیه، در مرحله‌ی دوم فرآیند، از بین ۱۹ ناحیه باقی‌مانده)، ناحیه‌ی مورد نظر را می‌باشد انتخاب نمود. می‌بایست دقت شود که با اصلاح حد آستانه و بازتر شدن نمودار کنترل در هر مرحله، نواحی نیز تا حدودی تغییر می‌کنند و می‌بایست نزدیک‌ترین ناحیه، به ناحیه‌ی قبلی را پس از اصلاح حد آستانه در نظر گرفت.

#### گام ۴: محاسبه‌ی بهبود حاصل شده

در این گام میانگین  $ARL_1$  برای تغییرات در نظر گرفته شده محاسبه و نسبت به حالت قبلی درصد تغییرات محاسبه می‌شود. در صورتی که این بهبود بیش از ۲ درصد باشد، به گام ۱ برگشت می‌شود و به تعداد قوانین یکی اضافه می‌شود. در صورتی که بهبودی حاصل نشود، ماتریس نهایی قوانین به دست می‌آید.

#### گام ۵: تشییت ماتریس قوانین برای نمودار R و تعیین ماتریس قوانین نمودار EWMA

پس از طراحی ماتریس قوانین نمودار R بر مبنای رسیدن به  $ARL_0$  مشخص، این ماتریس ثابت است و طراحی نمودار R به



شکل ۱- چارچوب طراحی نمودار کنترل پیشنهادی

مقادیر حد اصلی هر یک از نمودارها با افزودن تعداد قوانین برای رسیدن به  $ARL_0$  برابر با ۴۰۰ در حالت کلی نشان داده شده است. به عنوان مثال، مطابق با رویه‌ی پیشنهادی در صورتی که بخواهیم از یک قانون در نمودار R استفاده کنیم (۲ قانون به همراه حد اصلی)، حد اصلی به تنها یکی می‌باشد  $ARL_{0CV}$  برابر با ۸۰۰ داشته باشد که این حد برابر با  $5/24$  خواهد بود و می‌باشد در صد قانون نیز به گونه‌ای تنظیم گردد که این قانون نیز باید  $ARL_{0rule1}$  برابر با ۸۰۰ داشته باشد که این نمودار R نهایی نمودار R یا ( $ARL_{0R}$ ) برابر با ۴۰۰ گردد.

مقادیر حدود اصلی نمودار کنترل با توجه به  $ARL_0$  نهایی برابر با ۲۰۰ با در نظر گرفتن قوانین مختلف در جدول ۱ آورده شده است. به عنوان مثال در صورتی که هیچ قانونی در نمودار استفاده نگردد، مقادیر  $UCL_R$  برابر با  $4/997$  و

$UCL_{EWMA} = -LCL_{EEMA}$  برابر با  $0/478$  منجر به  $ARL_0$  برابر با ۴۰۰ در هر یک از نمودارها و  $ARL_0$  برابر با ۲۰۰ در حالت کلی می‌شود. یا در صورتی که بخواهیم از یک قانون (علاوه بر حد کنترل اصلی) در نمودار R استفاده نمائیم می‌باشد  $ARL_0$  به صورت مجزا برای حد اصلی ( $ARL_{0CV}$ ) و آن قانون ( $ARL_{0rule1}$ ) برابر با ۸۰۰ شود که در این صورت حد اصلی  $ARL_{0rule1}$  برابر با  $5/24$  خواهد بود و حد قانون پس از آن، باید تعیین گردد.

جدول ۱- مقادیر حدود اصلی نمودار کنترل با  $ARL_0$  نهایی برابر با ۲۰۰ با در نظر گرفتن قوانین مختلف

نمودار R					
S	۰	۱	۲	۳	۴
$ARL_{0R}$	۴۰۰	۸۰۰	۱۲۰۰	۱۶۰۰	۲۰۰۰
$UCL_R$	۴.۹۹۷	۵.۲۴	۵.۳۹	۵.۴۸	۵.۵۹
نمودار EWMA					
S	۰	۱	۲	۳	۴
$ARL_{0EWMA}$	۴۰۰	۸۰۰	۱۲۰۰	۱۶۰۰	۲۰۰۰
$UCL_{EWMA} = LCL_{EWMA}$	۰.۴۷۸	۰.۵۱۵	۰.۵۴	۰.۵۵۶	۰.۵۶۷

جدول ۲- نحوه تعیین قانون در نمودار R

S									
۰	۱				۲		۳		۴
UCL <sub>R</sub>	UCL <sub>R</sub>	ناحیه ثابت	درصد قوانین میانگین	UCL <sub>R</sub>	ناحیه ثابت	درصد قوانین	UCL <sub>R</sub>	ناحیه ثابت	درصد قوانین
		۴.۹۸	۰.۰۱۴	۴۹.۶۴	۵.۱۲	۰.۰۰۵		۵.۲۰	۰.۰۰۳
		۴.۷۲	۰.۰۲۵	۴۸.۸۶	۴.۸۵	۰.۰۰۶		۴.۹۲	۰.۰۰۴
		۴.۴۵	۰.۰۳۹	۴۷.۱۱	۴.۵۸	۰.۰۰۴		۴.۶۵	۰.۰۰۵
		۴.۱۹	۰.۰۰۶	۴۴.۵۴	۴.۳۱	۰.۰۰۸		۴.۳۸	۰.۱۳۴
		۳.۹۳	۰.۱۱	۴۱.۲۴	۴.۰۴	۰.۱۲		۴.۱۰	۰.۱۸۵
		۳.۶۷	۰.۲۱۸	۴۳.۰۶	۳.۷۷	۰.۱۲۹		۳.۸۳	۰.۲۰۸
		۳.۴۱	۰.۳۶۵	۴۴.۰۴	۳.۵۰	۰.۱۴۱		۳.۵۶	۰.۲۷۱
		۳.۱۴	۰.۹۷۵	۴۵.۸	۳.۲۳	۰.۴۹۷		۳.۲۸	۰.۳۶۱
		۲.۸۸	۰.۹۹۹	۴۶.۸۷	۲.۹۶	۰.۰۴۹		۳.۰۱	۰.۵
۴.۹۹۷	۵.۲۴	۲.۶۲	-	۵.۳۹	۲.۷۰	۰.۵۳۹	۵.۴۷	۲.۷۴	۰.۹۵
		۲.۳۶	-		۲.۴۳	۰.۹۹۹		۲.۴۶	۰.۹۹۹
		۲.۱۰	-		۲.۱۶	-		۲.۱۹	-
		۱.۸۳	-		۱.۸۹	-		۱.۹۱	-
		۱.۵۷	-		۱.۶۲	-		۱.۶۴	-
		۱.۳۱	-		۱.۳۵	-		۱.۳۷	-
		۱.۰۵	-		۱.۰۸	-		۱.۰۹	-
		۰.۷۹	-		۰.۸۱	-		۰.۸۲	-
		۰.۵۲	-		۰.۵۴	-		۰.۵۵	-
		۰.۲۶	-		۰.۲۷	-		۰.۲۷	-
		۰.۰۰	-		۰.۰۰	-		۰.۰۰	-

جدول (۲) آورده شده است و ناحیه بهینه در هر مرحله با رنگ سبز مشخص شده است. این ناحیه در مراحل بعدی اضافه شدن قوانین ثابت می‌ماند (نزدیک‌ترین ناحیه به ناحیه انتخاب شده در مرحله‌ی قبل) و با رنگ زرد نشان داده شده است. برای اختصار نمودار، میانگین  $ARL_1$  فقط برای اضافه کردن اولین قانون نشان داده شده است.

در اضافه کردن قانون اول، بهترین ناحیه (کمترین  $ARL_1$  در میانگین سه شیفت موردنظر) مربوط به ناحیه پانزدهم (۳/۹۳) تا (۵/۲۴) می‌باشد. در این حالت  $ARL_0$  کلی نمودار R (حد اصلی به همراه قانون اضافه شده با درصد نقاط ۱۱/۰) برابر با ۴۰۰ خواهد بود دقیق شود که در تمامی حالت‌های ۱۲ تا ۱۹ این مقدار برابر با ۴۰۰ است ولی کمترین میانگین  $ARL_1$  در ناحیه پانزدهم رخ می‌دهد. دقیق شود که برای نواحی پایین‌تر

برای محاسبه‌ی عملکرد قوانین، سه تغییر ۰/۲ برابر انحراف معیار در عرض از مبدأ، ۰/۰۵ برابر انحراف معیار در شیب و ۱/۱ برابر انحراف معیار در انحراف معیار در نظر گرفته می‌شود. ابتدا یک قانون به نمودار کنترل R اضافه می‌شود. فرآیند طراحی از یک قانون شروع می‌شود و ناحیه‌ی تحت کنترل (از ۰ تا ۵/۲۴) به ۲۰ قسمت تقسیم می‌شود. به ازای هر یک از ۲۰ ناحیه، درصد مربوط هر ناحیه به‌گونه‌ای تعیین می‌شود که  $ARL_0$  نهایی برای نمودار R برابر ۴۰۰ شود. به عبارت دیگر درصد قوانین برای هر ناحیه به‌گونه‌ای طراحی می‌شود که اگر فقط آن قانون در نمودار کنترل باشد یا فقط حد آستانه به‌نهایی در نمودار باشد مقدار  $ARL_{0CV}$  یا  $ARL_{rule1}$  برابر با ۸۰۰ شود (برای  $ARL_1 = 1$ ). بعد از تعیین حد آستانه برای هر حالت، مقدار  $ARL_1$  برای سه تغییر پیش‌بینی شده محاسبه می‌شود و میانگین آن‌ها ثبت می‌شود. نتایج شبیه‌سازی برای اضافه نمودن قوانین در

همان‌طور که از جدول ۲ مشخص است، روند افزایش تعداد قوانین با ۳ قانون در نمودار R متوقف می‌شود. سپس همین روش برای نمودار EWMA نیز می‌بایست تکرار شود. در تمامی مراحل طراحی نمودار EWMA، ماتریس قوانین نمودار R بر مبنای ۳ قانون و حد اصلی برابر با  $5/47$  خواهد بود و تغییر نمی‌کند. به دلیل اختصار جدول محاسبات نمودار EWMA گزارش نشده است.

در جدول (۳) روند افزایش قوانین بر مبنای  $ARL_0$  برابر با ۲۰۰ نشان داده شده است. در ستون دوم این جدول حالت‌های بهینه‌ی مختلف افزایش تعداد قوانین نشان داده شده است. در ستون سوم تغییرات حد اصلی دو نمودار کنترل با توجه به افزایش قوانین نشان داده می‌شود. همان‌طور که مشخص است در طراحی نمودار R حد اصلی نمودار EWMA ثابت است و در طراحی نمودار EWMA، حد اصلی و ماتریس به دست آمده برای نمودار R تغییر نمی‌کنند. ستون چهارم جدول ۳ ماتریس قوانین نهایی به دست آمده در هر مرحله را نشان می‌دهد. ستون پنجم مقدار  $ARL_1$  به ازای سه شیفت تعیین شده، با توجه به ماتریس قوانین در نظر گرفته شده برای هر حالت نشان داده شده است و میانگین این مقادیر در ستون ششم نشان داده شده است. اختلاف نسبی میانگین‌ها نسبت به حالت قبلی در ستون هفتم گزارش شده است. سطر اول جدول ۳ نمودار EWMAR بدون در نظر گرفتن قوانین (حالت عادی) و مقادیر  $ARL_1$  به ازای شیفت‌های موردنظر را نشان می‌دهد.

از ۲/۸۸۲ در این حالت نمودار R نمی‌تواند به  $ARL_0$  برابر با ۴۰۰ دست یابد.

در مرحله‌ی بعد می‌بایست در مورد افزایش تعداد قوانین تصمیم گرفت. از آنجایی که میانگین متوسط طول دنباله در شیفت‌های موردنظر نسبت به حالت اولیه بیش از ۲ درصد کاهش یافته است

$(\frac{60.78 - 41.24}{41.24} \times 100)$  می‌بایست فرآیند افزایش قوانین را ادامه داد (۶۰/۷۸)  $ARL_1$  برای سه تغییر انتخاب شده بدون در نظر گرفتن قوانین است. این مقدار در جدول ۳ هم گزارش شده است. برای اضافه نمودن قانون جدید، در حالت در نظر گرفتن ۲ قانون، ناحیه‌ی اول ثابت باقی می‌ماند (نزدیک‌ترین ناحیه به ناحیه‌ی موردنظر ۴۰/۴۲۵ است) و بین ۱۹ ناحیه باقی‌مانده، حالتی را که کمترین میانگین درصد نقاط را ایجاد نماید، در نظر می‌گیریم.

در مرحله‌ی اضافه کردن قانون دوم ( $S = 2$ )، ابتدا می‌بایست درصد نقاط قوانین ناحیه‌ی ثابت (زرد رنگ) تعیین گردد. اگرچه هر قانون به تنها ی باید  $ARL_0$  برابر با ۱۲۰۰ داشته باشد (مطابق با سومین ستون جدول ۱، چون ۲ قانون و ۱ حد اصلی داریم، این مقدار به دست می‌آید)، اما برای محاسبه‌ی درصد قوانین ثابت (نواحی زرد رنگ) پیشنهاد می‌شود بر اساس  $ARL_0$  نهایی نمودار R یا همان  $ARL_0 = 400$  نمودار کنترل بدون اضافه شدن قانون جدید محاسبه شود و برمبنای آن درصد قوانین تعیین شود. پس حد اصلی نمودار کنترل ( $5/39$ ) و قانون تشییت‌شده‌ی مرحله‌ی قبلی ( $40/425$ ) که به  $3/93$  نزدیک‌ترین عدد است (می‌بایست  $ARL_0$  برابر با ۶۰۰ داشته باشند زیرا ۲ قانون خواهیم داشت که هر یک  $ARL_0$  برابر با ۱۲۰۰ دارند).  $ARL_{0CV} = ARL_{0rule1} = 1200 \rightarrow ARL_{0R} = 600$  (بر این اساس درصد ناحیه‌ی  $40/425$  برابر با  $0/12$  به دست می‌آید. به عبارت دیگر با وجود قانون ( $40/425$ ) و حد اصلی  $ARL_{0R} = 5.39$  برابر با  $600$  خواهد بود. سپس برای سایر نواحی ۱۹ ناحیه‌ی باقی‌مانده) به صورت مجزا، درصد نقاط به گونه‌ای تعیین می‌شود که  $ARL_{0R}$  برابر با  $400$  شود و از بین این نواحی، ناحیه‌ی بهینه انتخاب می‌شود. در این حالت نیز نواحی پایین‌تر از  $2/4255$  نمی‌توانند  $ARL_{0R}$  برابر با  $400$  را ایجاد کنند. در بین ۱۹ ناحیه‌ی موجود، ناحیه‌ی بهینه در این حالت  $2/9645$  خواهد بود. سایر حالات افزایش تعداد قوانین برای نمودار R در جدول (۲) گزارش شده است.

جدول ۳- روند افزایش قوانین بر مبنای  $ARL_0$  برابر ۲۰۰

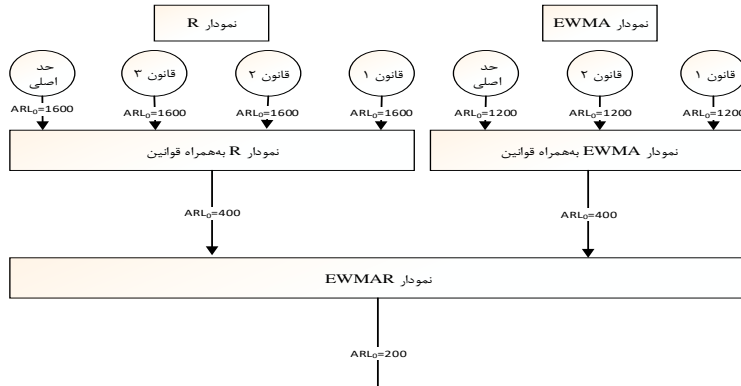
نمودار کنترل	S	$(UCL_R, UCL_S)$	ماتریس قوانین	نوع تغییر				میانگین	اختلاف
				I-۲	۰.۰۵	S	sigma۱۱		
R	0	(۰.۴۸۷, ۴.۹۹۷)	-	۶۶.۵	۴۳.۹	۷۲.۲۱	۶۰.۸۷		
	۱ قانون	(۰.۴۸۷, ۵.۲۹)	$\begin{bmatrix} ۳.۹۳ & ۰.۱۱ \end{bmatrix}$	۳۹.۴	۲۶.۷	۵۰.۷۳	۴۱.۲۴	۰.۳۷۱	
	۲ قانون	(۰.۴۸۷, ۵.۳۹)	$\begin{bmatrix} ۴.۰۴ & ۰.۱۲ \\ ۲.۹۶ & ۰.۵۴۹ \end{bmatrix}$	۲۷.۵۴	۱۶.۳۲	۴۷.۹۸	۳۰.۹۵	۰.۱۹۲	
	۳ قانون	(۰.۴۸۷, ۵.۴۷)	$\begin{bmatrix} ۴۶.۵ & ۰.۰۵ \\ ۴.۱ & ۰.۱۸۵ \\ ۳.۰۱ & ۰.۵ \end{bmatrix}$	۲۵.۷	۱۵.۱۱	۴۶.۷۶	۲۹.۱۹	۰.۰۵۱	
	۴ قانون	(۰.۴۸۷, ۵.۵۹)	$\begin{bmatrix} ۵.۰۳ & ۰.۰۱۱ \\ ۴.۷۵ & ۰.۰۳۲ \\ ۴.۱۹ & ۰.۱۴۵ \\ ۳.۰۷ & ۰.۹۵۵ \end{bmatrix}$	۲۵.۱۱	۱۶.۹۸	۴۵.۸۸	۲۸.۶۶	۰.۰۱۸	
EWMA	۱ + ۳ قانون	(۰.۵۱۵, ۵.۴۷)	$\begin{bmatrix} ۴.۶۵ & ۰.۰۵ \\ ۴.۱ & ۰.۱۸۵ \\ ۳.۰۱ & ۰.۵ \end{bmatrix} \begin{bmatrix} ۰.۳۰۹ & ۰.۱۱۸ \end{bmatrix}$	۱۷.۸۷	۸.۹۱	۴۷.۸۷	۲۶.۹۱	۰.۱۳۱	
	۲ + ۳ قانون	(۰.۵۵۶, ۵.۴۷)	$\begin{bmatrix} ۴.۶۵ & ۰.۰۵ \\ ۴.۱ & ۰.۱۸۵ \\ ۳.۰۱ & ۰.۵ \end{bmatrix} \begin{bmatrix} ۰.۳۲۹ & ۰.۱۲۴ \\ ۰.۱۶۲ & ۰.۵۰۸ \end{bmatrix}$	۱۶.۷۶	۸.۷۶	۴۳.۷۹	۲۲.۴۴	۰.۰۹۹	
	۳ + ۳ قانون	(۰.۵۶۷, ۵.۴۷)	$\begin{bmatrix} ۴.۶۵ & ۰.۰۵ \\ ۴.۱ & ۰.۱۸۵ \\ ۳.۰۱ & ۰.۵ \end{bmatrix} \begin{bmatrix} ۰.۳۳ & ۰.۶۸ \\ ۰.۲۵ & ۰.۳۰۱ \\ ۰.۱۶ & ۰.۶۲۷ \end{bmatrix}$	۱۴.۶۵	۸.۱۲	۴۳.۸۳	۲۲.۲۰	۰.۰۱۱	

نمودار R برای نمودار EWMA نیز تکرار می‌شود که برای آن حالت، وجود ۲ قانون حالت بهینه است (این حالت با رنگ زرد مشخص شده است). در شکل (۲) روند تعیین  $ARL_0$  برای هر یک از قوانین بهمنظور رسیدن به  $ARL_0$  نهایی برابر با ۲۰۰ در حالت کلی نشان داده شده است.

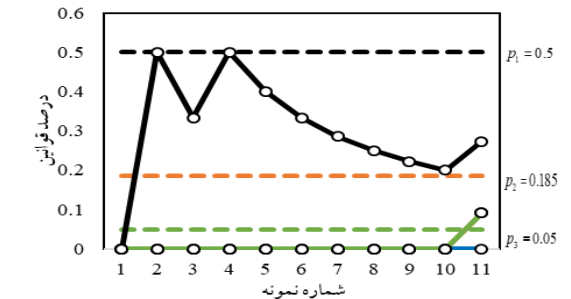
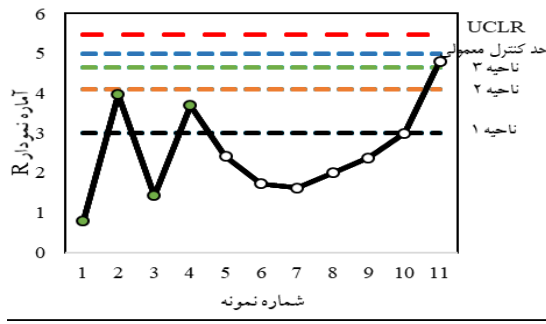
همان‌طور که از جدول ۳ مشخص است برای نمودار R در افزایش از ۳ قانون به ۴ قانون بهبود محسوسی ایجاد نمی‌شود و ۳ قانون، حالت نهایی در نظر گرفته می‌شود و ماتریس قوانین برای نمودار کنترل R و  $UCL_R$  تثبیت می‌شود

$$\begin{bmatrix} ۴.۶۴۹ & ۰.۰۵ \\ ۴.۱۰ & ۰.۱۸۵ \\ ۳.۰۰۹ & ۰.۵ \end{bmatrix}.$$

همین مراحل با فرض وجود سه قانون در

شکل ۲- روند تعیین قانون در نمودار EWMAR و رسیدن به  $ARL_0$  در مثال بالا

انتهای این بخش عملکرد نمودار کنترل پیشنهادی با نتایج حاصل از طرح نمونه‌گیری متغیر مقایسه شده است.

شکل ۳- نتایج شبیه‌سازی نمودار کنترل  $R_j$  برای تولید پروفایل با  $0/2$  برابر انحراف معیار تعییر در عرض از مبدأ

### ۵- اعتبارسنجی عملکرد نمودار کنترل پیشنهادی در مقابل سایر نمودارها

در این بخش برای اعتبارسنجی روش پیشنهادی، عملکرد نمودار کنترل پیشنهادی بر اساس متوسط طول دنباله در حالت خارج کنترل با عملکرد سایر نمودارها مقایسه شده است. سپس عملکرد آن با سایر قوانین اجرای معمول مقایسه شده است. در

برای توضیح بیشتر روش پیشنهادی، عملکرد نمودارها در یکی از تکرارهای شبیه‌سازی برای تولید پروفایل با  $0/2$  برابر انحراف معیار تغییر در عرض از مبدأ در شکل ۳ نشان داده شده است. نواحی هر یک از نمودارها با خطچین نشان داده شده است. همان‌طور که مشخص است نمودار کنترل پیشنهادی در پروفایل یازدهم سیگنال خارج از کنترل صادر کرده است درصورتی که هیچ‌یک از آماره‌های تولیدشده بالاتر از حد آستانه نمودار R (۵.۴۷) قرار ندارد (خطچین قرمز نشان‌دهنده حد کنترل نمودار پیشنهادی این پژوهش در حالت وجود قوانین است). علت صدور سیگنال این است که قانون سوم نمودار EWMA در این حالت فعال شده است (تعداد نمونه در ناحیه‌ی سه برابر با ۱ است و  $0.05 > \frac{1}{11}$ ). می‌بایست دقت شود که اگر از نمودار کنترل معمولی EWMA نیز استفاده می‌کردیم در این نقطه، نمودار نمی‌توانست فرآیند خارج از کنترل را شناسایی کند (خطچین آبی نشان‌دهنده حد کنترل نمودار EWMA در حالت عادی است). دقت شود که نمودار EWMA در این حالت سیگنالی صادر نمی‌کرد و برای اختصار در این قسمت گزارش نشده است.

### ۵- اعتبارسنجی عملکرد نمودار کنترل پیشنهادی

در این بخش برای اعتبارسنجی روش پیشنهادی، ابتدا عملکرد نمودار کنترل پیشنهادی بر اساس متوسط طول دنباله در حالت خارج کنترل با عملکرد سایر نمودارها مقایسه شده است. سپس عملکرد آن با سایر قوانین اجرای معمول مقایسه شده است. در

شیب و انحراف معیار مقایسه و بررسی شده است. همان‌طور که مشاهده می‌شود در بخش اول جدول ۴ با تغییرات افزایشی در عرض از مبدأ نمودار کنترل پیشنهادی نسبت به سایر نمودارها عملکرد بهتری بر اساس متوسط طول دنباله نشان داده است. همچنین در بخش دوم و سوم جدول ۴ هم مشاهده می‌شود با تغییر افزایشی در شیب و تغییر افزایشی در انحراف معیار باز هم عملکرد نمودار کنترل پیشنهادی بهتر بوده است.

جدول ۴- مقایسه ARL برای پروفایلهای خطی با تغییرات افزایشی در عرض از مبدأ، شیب و انحراف معیار

روش	$\lambda$										
	۰.۲	۰.۴	۰.۶	۰.۸	۱	۱.۲	۱.۴	۱.۶	۱.۸	۲	
EWMAR	۶۶.۵	۱۷.۷	۸.۴	۵.۴	۳.۹	۳.۲	۲.۷	۲.۳	۲.۱	۱.۹	
MEWMA	۵۹.۹	۱۷.۲	۸.۵	۵.۸	۴.۱	-	-	-	-	۲	
CUSUM3	۷۲.۱	۲۰.۳	۸.۲	۴.۶	۳.۱	۲.۴	۱.۹	۱.۶	۱.۴	۱.۳	
VSCS	۵۳.۳	۱۴.۷	۶.۹	۴.۲	۳	-	-	-	-	۱.۲	
GLR	۴۷.۲	۱۶.۳	۸.۳	۵.۲	۳.۶	-	-	-	-	۱.۳	
PM-3	۳۰.۳۴	۱۲.۵۳	۷.۳۶	۵.۰۹	۳.۸۶	۳.۰۹	۲.۵۸	۲.۲۲	۱.۹۵	۱.۷۵	
EWMA-AREA	۴۹.۹	۱۴.۳	۷.۲	۴.۷	۳.۵	۲.۸	۲.۴	۲.۱	۱.۹	۱.۷	
EWMAR-RULE	۱۴.۷۶	۴.۳۸	۲.۵۷	۱.۷۸	۱.۵۳	۱.۲۳	۱.۰۹	۱.۰۲	۱.۰۲	۱.۰۱	
روش	$\eta$										
	۰.۰۲۵	۰.۰۵	۰.۰۷۵	۰.۱	۰.۱۲۵	۰.۱۵	۰.۱۷۵	۰.۲	۰.۲۲۵	۰.۲۵	
EWMAR	۱۱۹	۴۳.۹	۱۹.۸	۱۱.۳	۷.۷	۵.۸	۴.۷	۳.۹	۳.۴	۳	
MEWMA	۹۹	۳۵	۱۶.۴	۹.۸	۶.۹	۵.۳	-	۳.۷	-	۲.۹	
CUSUM3	۸۵.۷	۳۷.۸	۱۹	۱۱.۱	۷.۲	۵	۳.۹	۳.۱	۲.۶	۲.۳	
VSCS	۹۳.۸	۳۱.۳	۱۴.۱	۸.۱	۵.۵	۴	-	۲.۶	-	۱.۹	
T <sup>2</sup>	۷۸.۴	۲۹.۴	۱۵.۳	۹.۶	۶.۷	۵	-	۳.۱	-	۲.۳	
EWMA-3	۴۸.۲	۲۱.۴۳	۱۲.۹۴	۹.۰۷	۶.۸۳	۵.۴۳	۴.۴۹	۳.۸۲	۳.۳	۲.۹۲	
EWMA-AREA	۹۳.۸	۳۳.۶	۱۵.۸	۹.۵	۶.۷	۵.۲	۴.۲	۳.۵	۳.۱	۲.۷	
EWMAR-RULE	۴۶.۷	۹.۷۴	۴.۶۸	۲.۹۴	۲.۲۶	۱.۸۹	۱.۵۳	۱.۳۳	۱.۲۵	۱.۱۷	
روش	$\gamma$										
	۱.۲	۱.۴	۱.۶	۱.۸	۲	۲.۲	۲.۴	۲.۶	۲.۸	۳	
EWMAR	-	۳۴.۳	۱۲	۶.۱	۳.۹	۲.۹	۲.۳	۱.۹	۱.۷	۱.۴	
MEWMA	۷۶.۲	۳۳.۲	۱۲.۱	۷	۴.۹	-	۳.۱	-	۲.۳	۱.۹	
CUSUM3	-	۳۱.۲	۹.۴	۴.۸	۳.۲	۲.۴	۲	۱.۷	۱.۵	۱.۳	
VSCS	۷۷.۳	۳۳	۱۰.۷	۵.۵	۳.۶	-	۲.۱	-	۱.۵	۱.۳	
GLR	۵۷.۸	۲۴.۲	۹	۵.۱	۳.۵	-	۲.۲	-	۱.۷	۱.۴	
EWMA-3	-	۳۳.۵	۱۲.۷	۷.۲	۵.۱	۳.۹	۳.۲	۲.۸	۲.۵	۲.۱	
PM-3	-	۲۴.۸	۹.۸۲	۵.۶۱	۳.۹	۲.۹۹	۲.۴۲	۲.۰۶	۱.۸۱	۱.۵	
EWMAR-RULE	۱۰.۰۴	۲.۸۶	۱.۴۷	۱.۲۴	۱.۱۴	۱.۱	۱.۰۹	۱.۰۵	۱.۰۵	۱.۰۲	

کنترل برای تغییرات افزایشی و کاهشی و همزمان در عرض از مبدأ، شیب بررسی می‌شود. لازم به ذکر است تغییرات افزایشی برای انحراف معیار نیز محاسبه شده است.

در جدول ۴ عملکرد نمودار کنترل پیشنهادی EWMAR- [۷] EWMA3 [۶]، متدهای RULE VSCE [۸]، متدهای CUSUM3 [۱۰]، متدهای MEWMA [۱۴]، متدهای GLR [۲۰] و متدهای EWMA- [۱۵] در سه حالت تغییرات افزایشی در عرض از مبدأ،

عرض از مبدأ و شیب به مراتب بهتر از نمودارهای EWMAR، EWMA-AREA و VSCS، EWMA-3 و MEWMA داشته است.

جدول ۵ نتایج شبیه‌سازی برای حالت تغییرات کاهشی عرض از مبدأ و شیب را نشان می‌دهد. مطابق با نتایج به دست آمده مشاهده می‌شود که عملکرد نمودار کنترل پیشنهادی بر اساس متوسط طول دنباله در حالت خارج کنترل با تغییرات کاهشی

جدول ۵- مقایسه ARL برای پروفایل‌های خطی با تغییرات کاهشی در عرض از مبدأ، شیب

روش	$\lambda$									
	-0.1	-0.2	-0.3	-0.4	-0.5	-0.6	-0.8	-1	-1.5	-2
EWMAR	-	68.70	-	17.60	-	8.30	5.30	3.90	-	1.90
MEWMA	131.00	58.60	29.50	17.20	11.50	8.50	5.50	4.10	2.60	2.00
EWMA-3	132.20	59.50	28.50	16.40	10.80	7.90	5.10	3.80	2.40	1.90
VSCS	126.20	53.20	26.10	14.70	9.70	6.90	4.20	3.00	1.60	1.20
EWMA-AREA	-	49.90	-	14.40	-	7.20	7.20	3.60	-	1.70
EWMAR-RULE	88	17.36	6.61	4.31	3.39	2.49	1.75	1.03	1.07	1.01

روش	$\eta$									
	-0.025	-0.0375	-0.05	-0.0625	-0.075	-0.10	-0.125	-0.15	-0.2	-0.25
EWMAR	118.7	-	44.2	-	20	11.4	7.8	5.9	3.9	2.3
MEWMA	99.5	56.8	35.2	22.8	16.5	9.8	6.9	5.3	3.7	2.9
EWMA-3	102.9	59.1	36.5	24	17	10.3	7.2	5.5	3.8	2.9
VSCS	94.1	52.5	31.5	20.2	14.2	8.2	5.5	4	2.6	1.9
EWMA-AREA	97.1	-	33.3	-	16.2	9.6	6.8	5.3	3.6	2.8
EWMAR-RULE	63.47	17.77	9.5	6.5	4.29	2.99	2.13	1.8	1.39	1.28

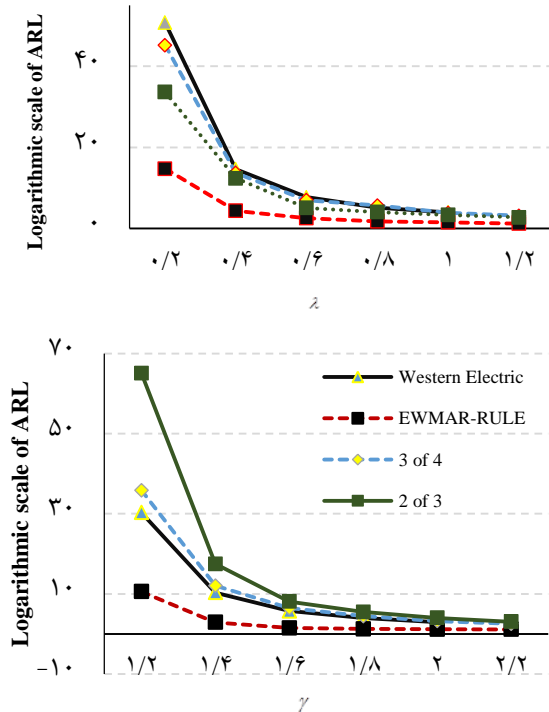
جدول ۶- مقایسه ARL در پروفایل خطی ساده با تغییرات همزمان

$\lambda$	$\eta$										روش
	0.025	0.05	0.075	0.1	0.125	0.15	0.175	0.2	0.225	0.25	
0.2	83.9	49.6	28.2	16.9	10.4	6.8	4.7	3.3	2.5	2	$T^2$
	26.6	14	8.9	6.4	5.1	4.2	3.6	3.1	2.8	2.5	EWMR
	24.2	12.9	8.3	6.2	4.8	4	3.5	3	2.7	2.5	EWMA3
	20.7	11.3	7.6	5.7	4.5	3.8	3.2	2.8	2.6	2.3	EWMA-AREA
	6.58	3.98	2.68	2.32	1.94	1.59	1.37	1.25	1.45	1.12	EWMAR-RULE
0.4	37.2	22.3	13.6	8.5	5.7	4	3	2.3	1.8	1.5	$T^2$
	10.4	7.3	5.5	4.5	3.8	3.3	2.9	2.6	2.4	2.2	EWMR
	10	7	5.4	4.4	3.7	3.2	2.9	2.6	2.2	2.2	EWMA3
	8.9	6.3	4.9	4	3.4	3	2.7	2.4	2.2	2.1	EWMA-AREA
	3.54	2.05	2.08	1.87	1.51	1.36	1.21	1.15	1.1	1.04	EWMAR-RULE
$\lambda$	$\gamma$				$\eta$	$\gamma$				روش	
	1.2	1.4	1.6	1.8		1.2	1.4	1.6	1.8	2	
	32.7	13.3	7.4	4.9	35.8	14.1	7.7	5	3.7	$T^2$	
	23.9	10.7	5.8	3.9	29	11.4	6	3.9	2.8	EWMR	
	22.9	11.2	6.9	4.9	28	12	7.1	5	4	EWMA3	
	17.6	8.5	5.6	4.1	20.5	9.1	5.7	4.2	3.3	EWMA-AREA	

	۵.۸۷	۲.۷۸	۱.۸۹	۱.۵۱	۷.۹۸	۳۰.۸	۱.۸۴	۱.۵۳	۱.۳۲	EWMAR-RULE
۰.۴	۲۰.۷	۱۰.۲	۶.۳	۴.۵	۲۰.۴	۱۰.۲	۶.۲	۴.۴	۳.۴	$T^2$
	۱۲.۳	۷.۸	۵	۳.۶	۱۲.۸	۷.۸	۵.۱	۳.۵	۲.۷	EWMR
	۱۲	۸.۴	۶	۴.۵	۰.۰۷۵	۱۲.۳	۸.۳	۵.۹	۴.۶	EWMA3
	۱۰.۶	۷.۱	۵	۳.۸	۱۱.۱	۷.۲	۵	۳.۹	۳.۱	EWMA-AREA
	۳.۳۱	۲.۳۴	۱.۷۵	۱.۳۹	۳.۳۳	۲.۷	۱.۵۶	۱.۴۴	۱.۳	EWMAR-RULE

در این زیر بخش، ترکیب و شبیه‌سازی این قوانین و EW MAR (هر نمودار را دو قانون پوشش می‌دهد) بر اساس  $ARL_0 = 200$  انجام شده است. حدود نمودار در نمودار کنترل R و EWMA بر اساس تعداد سیگنال‌های مشابه برای قانون ۲ تا از ۳ ( $5.18 \cdot 3.07$ ) و ( $0.45 \cdot 0.53$ ) و برای قانون ۳ از ۴ ( $5.32 \cdot 3.41$ ) و ( $0.38 \cdot 0.52$ ) است.

مقادیر ARL برای تغییرات عرض از مبدأ و انحراف استاندارد در پروفایل خطی ساده با استفاده از این قوانین در شکل ۴ نشان داده شده است. توجه داشته باشید که نتایج حاصل از ترکیب دیگر قوانین اجرا نیز بکسان است که در این مقاله آورده نشده است. شکل ۴ نشان می‌دهد که روش اجرای قانون پیشنهادی در نمودار کنترل EW MAR از طرح‌های اجرای وسترن الکتریک و سایر قوانین اجرا بهتر است.



در جدول ۶ عملکرد نمودار کنترل پیشنهادی بر اساس متوسط طول دنباله در حالت خارج کنترل برای تغییرات همزمان بررسی شده است. در بخش اول جدول ۵ تغییرات همزمان ۶ و ۷، در بخش دوم تغییرات همزمان ۷ و ۸، در بخش سوم تغییرات همزمان ۷ و ۶ آورده شده است.

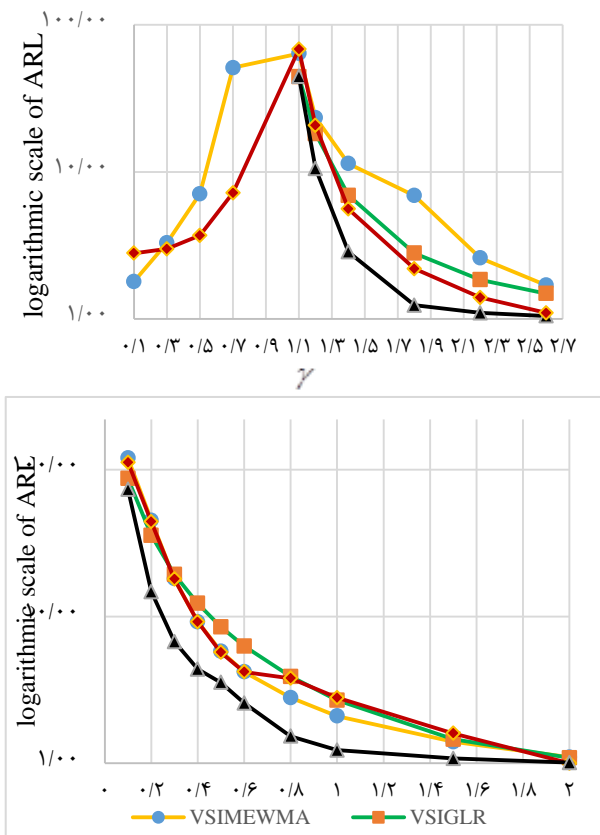
مطابق جدول ۶ مشاهده می‌شود EW MAR-RULE بهترین عملکرد را در مقایسه با نمودارهای دیگر در کلیه تغییرات دارد.

#### ۵-۲-۵ مقایسه عملکرد با سایر قوانین اجرای معمول

طرح پیشنهادی با قوانین وسترن الکتریک در نمودارهای کنترل کیفیت که بسیار محبوب هستند؛ مقایسه شد. ما این قوانین را به نمودار کنترل EW MAR اضافه کردیم. طراحی قوانین وسترن الکتریک بر اساس نمودارهای معمولی دوطرفه مطابق رابطه ۸ نشان داده شده است. چون این مجموعه قوانین بر اساس نمودارهای معمولی دوطرفه طراحی شده‌اند، لذا آخرین قانون وسترن الکتریک در شبیه‌سازی ما در نظر گرفته نشده است؛ بنابراین در این مطالعه سه قانون از قوانین وسترن الکتریک به ترتیب سه نقطه خارج از حدود کنترل سه سیگما باشد، دو نقطه از سه نقطه متوالی فراتر از حد دوسیگما در یک طرف خط وسط قرار دارند، چهار نقطه از پنج نقطه متوالی فراتر از حد یک سیگما، در یک طرف خط وسط قرار دارند، بررسی شد.

ما حدود قوانین را بر اساس خطای نوع اول مشابه با نمودار شوهارت تنظیم نمودیم و  $ARL_0$  را برابر ۲۰۰ قرار دادیم. حدود اصلاح شده ( $\sigma_{2\sigma} 2\sigma$ ) برای نمودار R و Z به ترتیب برابر با ( $3.99 \cdot 5.24$ ) و ( $0.36 \cdot 0.55$ ) است. قوانین وسترن الکتریک به شرح ذیل است.

- قرارگیری هر داده‌ای بالای حد کنترل یا  $3\sigma$
- قرارگیری ۲ نقطه از ۳ نقطه متوالی فراتر از  $2\sigma$
- قرارگیری ۴ نقطه از ۵ نقطه متوالی فراتر از  $\sigma$
- قرارگیری ۸ نقطه متوالی در یک سمت نمودار



شکل ۵- مقایسه مقادیر ARL بر اساس تغییر در عرض از مبدأ و انحراف

شکل ۴- مقایسه مقادیر ARL برای مدل ساده با تغییرات افزایشی بر اساس طرح قوانین اجرا مختلف

### ۳-۵ مقایسه طرح پیشنهادی با طرح نمونه‌گیری متغیر

روش پیشنهادی ابزاری برای کاهش  $ARL_1$  در نمودار کنترل EWMAR است. می‌توان جهت سنجش اعتبار روش آن را با طرح نمونه‌گیری متغیر مقایسه نمود. هر دو رویکرد می‌توانند کارایی در تشخیص تغییرات پارامترهای فرایند را افزایش دهند. برای انجام مقایسه با طرح نمونه‌گیری متغیر با روش پیشنهادی، از نتایج ترکیب طرح نمونه‌گیری متغیر با MEWMA [۸] و روش LRT [۳۹] و روش GLR [۳۷] برای مقایسه با نتایج روش پیشنهادی استفاده شد.

شکل ۵  $ARL_1$  برای تغییرات عرض از مبدأ و انحراف استاندارد در پایش پروفایل‌های خطی را نشان می‌دهد. همان‌طور که مشاهده می‌شود روش پیشنهادی تقریباً به طور یکنواخت بهتر از طرح نمونه‌گیری متغیر است. می‌بایست دقت شود که نمودارهای EWMAR و GLR کاهش در انحراف واریانس را تشخیص نمی‌دهند.

### ۶- نتیجه‌گیری

به‌طور کلی هدف از این پژوهش ارائه نمودارهای کنترل مؤثر و کارا برای پایش پروفایل‌های خطی ساده در فاز دو است. همان‌طور که اشاره شد در این تحقیق برای پایش پروفایل خطی از نمودار کنترل EWMAR استفاده شد. سپس به‌منظور بهبود عملکرد نمودار در تشخیص تغییرات غیرتصادفی از قوانین حساس‌سازی استفاده شد. این قوانین با استفاده از یک روش ابتکاری با نمودار EWMAR ترکیب شده‌است. به‌منظور تعیین عملکرد نمودار کنترل پیشنهادی در مقایسه با نمودار معمولی EWMAR ابتدا از مثال کنگ و الاین استفاده شد. نتایج نشان‌دهنده عملکرد بهتر نمودار کنترل پیشنهادی در شناسایی تغییرات نسبت به نمودار کنترل معمولی EWMAR است. سپس به‌منظور اعتبارسنجی بیشتر، مطالعات شبیه‌سازی و ارزیابی عملکرد نمودار بر اساس متوسط طول دنباله در مقایسه با سایر نمودارها، از جمله نمودارهای T2 هتلینگ، EWMAR

- conceptual classification scheme. *Computers & Industrial Engineering*, 126, 705-728.
- [5] Stover, F. S., & Brill, R. V. (1998). Statistical quality control applied to ion chromatography calibrations. *Journal of Chromatography A*, 804(1-2), 37-43.
- [6] Kang, L., & Albin, S. L. (2000). On-line monitoring when the process yields a linear profile. *Journal of quality Technology*, 32(4), 418-426.
- [7] Kim, K., Mahmoud, M. A., & Woodall, W. H. (2003). On the monitoring of linear profiles. *Journal of Quality Technology*, 35(3), 317-328.
- [8] Zou, C., Tsung, F., & Wang, Z. (2007). Monitoring general linear profiles using multivariate exponentially weighted moving average schemes. *Technometrics*, 49(4), 395-408.
- [9] Noorossana, R., Amiri, A., Vaghefi, S. A., & Roghanian, E. (2004). Monitoring quality characteristics using linear profile. In *Proceedings of the 3rd International Industrial Engineering Conference* (pp. 246-255).
- [10] Saghaei, A., Mehrjoo, M., & Amiri, A. (2009). A CUSUM-based method for monitoring simple linear profiles. *The International Journal of Advanced Manufacturing Technology*, 45(11-12), 1252.
- [11] Li, Z., & Wang, Z. (2010). An exponentially weighted moving average scheme with variable sampling intervals for monitoring linear profiles. *Computers & Industrial Engineering*, 59(4), 630-637.
- [12] Gani, W., & Limam, M. (2013). On the use of the K-chart for phase II monitoring of simple linear profiles. *Journal of Quality and Reliability Engineering*, 2013.
- [13] Adibi, A., Montgomery, D. C., & Borror, C. M. (2014). Phase II monitoring of linear profiles using a P-value approach. *International Journal of Quality Engineering and Technology*, 4(2), 97-106.

EWMA- EWMA-3 .VSCS .CUSUM3.MEWMA AREA در تغییرات افزایشی و کاهشی و همزمان انجام شد. نتایج نشان می دهد که عملکرد نمودار کنترل پیشنهادی در تغییرات افزایشی و کاهشی به مراتب بسیار بهتر از سایر نمودارها است.

جهت اعتبارسنجی بیشتر روش پیشنهادی دو مقایسه دیگر نیز در این مطالعه استفاده شده است. اول مقایسه با قوانین معمول وسترن الکترونیک که با نتایج شکل ۴، مشاهده می شود که روش پیشنهادی عملکرد بهتری نسبت به قوانین وسترن الکترونیک دارد. دوم مقایسه و ارزیابی عملکرد رویکرد پیشنهادی با طرح متغیرهای نمونه‌گیری متغیر است. برخی مطالعات از طرح VSI برای افزایش حساسیت نمودار کنترل در پروفایلهای خطی استفاده کرده‌اند. مطابق شکل ۵، عملکرد طرح پیشنهادی تقریباً بر عملکرد سایر نمودارها بر اساس طرح VSI برتری است. در تحقیقات آینده، طرح VSI می‌تواند با رویکرد پیشنهادی برای افزایش عملکرد ترکیب شود. با توجه به کلیه مقایسه‌ها و ارزیابی‌های انجام شده و با توجه به بهبود چشمگیر نمودار کنترل EWMAR در ترکیب با قوانین حساس‌سازی پیشنهاد می‌شود در تحقیقات آتی از قوانین حساس‌سازی در سایر نمودارهای کنترل استفاده نمایند. همچنین برای پایش پروفایلهای خطی در فاز یک نیز می‌توان از ترکیب نمودارهای کنترل با قوانین حساس‌سازی استفاده کرد.

## - منابع

- [1] Zou, C., Zhang, Y., & Wang, Z. (2006). A control chart based on a change-point model for monitoring linear profiles. *IIE transactions*, 38(12), 1093-1103.
- [2] Woodall, W.H., Spitzner, D.J., Montgomery, D.C. and Gupta, S. (2004). Using control charts to monitor process and product quality profiles. *Journal of Quality Technology*, 36, 309–320.
- [3] Woodall, W. H. (2007). Current research on profile monitoring. *Production*, 17(3), 420-425.
- [4] Maleki, M. R., Amiri, A., & Castagliola, P. (2018). An overview on recent profile monitoring papers (2008–2018) based on

- Communications in Statistics - Simulation and Computation*, 48(1), 126-149.
- [23] Abbas, T., Qian, Z., Ahmad, S., & Riaz, M. (2016). On monitoring of linear profiles using Bayesian methods. *Computers & Industrial Engineering*, 94, 245-268.
- [24] Abbas, T., Qian, Z., Ahmad, S., & Riaz, M. (2017). Bayesian monitoring of linear profile monitoring using DEWMA charts. *Quality and Reliability Engineering International*, 33(8), 1783-1812.
- [25] Amiri, A., Mehrjoo, M., & Pasek, Z. J. (2013). Modifying simple linear profiles monitoring schemes in phase II to detect decreasing step shifts and drifts. *The International Journal of Advanced Manufacturing Technology*, 64(9-12), 1323-1332.
- [26] Gupta, S., Montgomery, D. C., & Woodall, W. H. (2006). Performance evaluation of two methods for online monitoring of linear calibration profiles. *International Journal of Production Research*, 44(10), 1927-1942.
- [27] Abbas, N., Riaz, M., & Does, R. J. M. M. (2011). Enhancing the performance of EWMA charts. *Quality and Reliability Engineering International*, 27, 821-833.
- [28] Riaz, M., Abbas, N., & Does, R. J. M. M. (2011). Improving the performance of CUSUM charts. *Quality and Reliability Engineering International*, 27, 415-424.
- [29] Kim, J., Al-Khalifa, K. N., Park, M., Jeong, M. K., Hamouda, A. M. S., & Elsayed, E. A. (2013). Adaptive cumulative sum charts with the adaptive runs rule. *International Journal of Production Research*, 51(15), 4556-4569.
- [30] Khoo, M. B. C., Castagliola, P., Liew, J. Y., Teoh, W. L., & Maravelakis, P. E. (2016). A Study on EWMA charts with runs rules—the Markov chain approach. *Communications in Statistics - Theory and Methods*, 45, 4156-4180.
- [31] Adeoti, O. A., & Malela-Majika, J. C. (2020). Double exponentially weighted moving average control chart with supplementary runs-rules. *Quality*
- [14] Xu, L., Wang, S., Peng, Y., Morgan, J. P., Reynolds Jr, M. R., & Woodall, W. H. (2012). The monitoring of linear profiles with a GLR control chart. *Journal of Quality Technology*, 44(4), 348-362.
- [15] Huwang, L., Wang, Y. H. T., Xue, S., & Zou, C. (2014). Monitoring general linear profiles using simultaneous confidence sets schemes. *Computers & Industrial Engineering*, 68, 1-12.
- [16] Riaz, M., Mahmood, T., Abbasi, S. A., Abbas, N., & Ahmad, S. (2017). Linear profile monitoring using EWMA structure under ranked set schemes. *The International Journal of Advanced Manufacturing Technology*, 91(5), 2751-2775.
- [17] Mahmood, T., Riaz, M., Omar, M. H., & Xie, M. (2018). Alternative methods for the simultaneous monitoring of simple linear profile parameters. *The International Journal of Advanced Manufacturing Technology*, 97(5), 2851-2871.
- [18] Riaz, M., Mahmood, T., Abbas, N., & Abbasi, S. A. (2019). On improved monitoring of linear profiles under modified successive sampling. *Quality and Reliability Engineering International*, 35(7), 2202-2227.
- [19] Motasemi, A., Alaeddini, A., & Zou, C. (2017). An Area-based Methodology for the Monitoring of General Linear Profiles. *Quality and Reliability Engineering International*, 33(1), 159-181.
- [20] Saeed, U., Mahmood, T., Riaz, M., & Abbas, N. (2018). Simultaneous monitoring of linear profile parameters under progressive setup. *Computers & Industrial Engineering*, 125, 434-450.
- [21] Khalili, S. B., Amiri, A., & Khosravi, P. (2020). Designing Control Charts Based on Residuals for Monitoring Simple Linear Profiles in Short Run Processes. *Sharif Journal of Industrial Engineering & Management*, 36(1.1), 19-28. (In Persian).
- [22] Abbas, T., Ahmad, S., Riaz, M., & Qian, Z. (2019). A Bayesian way of monitoring the linear profiles using cusum control charts.

- [36] Zhang, Y., Shang, Y., Gao, N., & Wang, Q. (2017). Monitoring prespecified changes in linear profiles using control charts with supplementary runs rules. *Communications in Statistics - Simulation and Computation*, 46, 7249-7263.
- [37] Hafez Darbani, F., & Shadman, A. (2018). Monitoring of linear profiles using generalized likelihood ratio control chart with variable sampling interval. *Quality and Reliability Engineering International*, 34(8), 1828-1835.
- [38] Zhang, J., Li, Z., & Wang, Z. (2009). Control chart based on likelihood ratio for monitoring linear profiles. *Computational statistics & data analysis*, 53(4), 1440-1448.
- [39] Montgomery, D. C. (2009). *Introduction to statistical quality control*. John Wiley & Sons.
- Technology & Quantitative Management, 17(2), 149-172.
- [32] Maravelakis, P. E., Castagliola, P., & Khoo, M. B. C. (2019). Run length properties of run rules EWMA chart using integral equations. *Quality Technology & Quantitative Management*, 16, 129-139.
- [33] Koutras, M. V., Bersimis, S., & Maravelakis, P. E. (2007). Statistical process control using Shewhart control charts with supplementary runs rules. *Methodology and Computing in Applied Probability*, 9(2), 207-224.
- [34] Chakraborti, S., & Graham, M. (2019). *Nonparametric Statistical Process Control*: Wiley.
- [35] Riaz, M., & Touqeer, F. (2015). On the performance of linear profile methodologies under runs rules schemes. *Quality and Reliability Engineering International*, 31(8), 1473-1482.

<sup>1</sup> Charting Techniques<sup>2</sup> In-Control (IC)<sup>3</sup> Exponentially Weighted Moving Average (EWMA)<sup>4</sup> Error variance<sup>5</sup> Generalized likelihood ratio (GLR) control chart<sup>6</sup> Simultaneous confidence set's<sup>7</sup> Memory type<sup>8</sup> Progressive mean<sup>9</sup> Posterior distributions<sup>10</sup> Cumulative sum<sup>11</sup> The Least square estimates (LSE)<sup>12</sup> Weighting constant<sup>13</sup> Mean squared error

